

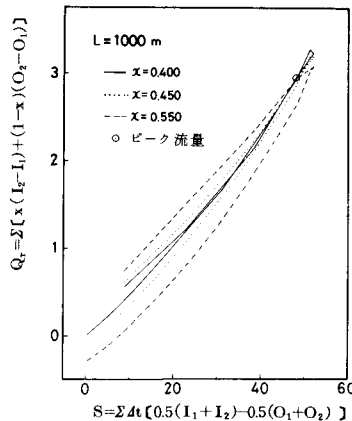
Muskingum法の適用限界は $T_A < (0.6 \sim 0.7) < T_a$ と考えてもさしつかえない。

図-3は、基本波IIより定めた諸係数を用いて基本波Iを追跡したものである。図-4は基本波Iより定めた諸係数を用いて基本波IIを追跡したものである。基本波IのMuskingum法による追跡波のピーク流量は特性曲線法によるピーク流量より小さく、この差は追跡距離が大きくなるに従って増大してくる。この場合の追跡可能距離は0.5~1km位となる。基本波IIのMuskingum法による追跡波のピークは、基本波Iの場合と逆に大きく、追跡距離が大きくなると両波の波形が着しく異ってくる。この場合の追跡可能距離は約0.5km位となる。このように、基本波(諸係数を定めるために用いた波)と追跡しようとする波形が異なれば異なるほど追跡可能距離は小さくなる。

3-2. Muskingum法の α およびKについて

Muskingum法における流入Iと流出Oとの関係式($O_2 = C_0 I_2 + C_1 I_1 + C_2 O_1$)

の諸係数 C_0, C_1, C_2 を求めるためには、流入量Iの河道貯留量におよぼす重み α と、S-Q図のループの平均勾配Kを求めなければならない。図-5、6は基本波IのS-Q図であり、横軸が河道貯留量の増加分の累計値Sで、縦軸は追跡区間の上流端と下流端の加重平均流量の増加量の累計値Qrである。



第5図 基本波Iのループ(L=1000m)

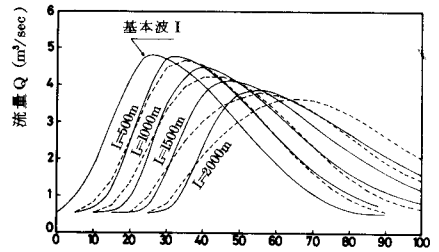
図-5は1kmにおけるループであるが、定説通りにループが

最も扁平となる場合の α の値0.4を取るよりは0.45を取った場合の方が計算結果は良好であった。これは、 $\alpha=0.45$ のループより $\alpha=0.40$ のループの方が扁平であるが、ピーク付近の曲率が大きく、Kが大きくなるからである。むしろ、ループが多小ふくらんでいても、ピーク付近の曲率の小さい方を選べば、良好な計算結果が得られる。

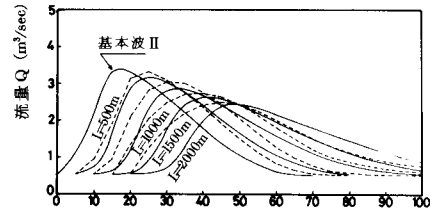
図-6は、2kmにおけるループである。もはやループを扁平にすることは困難となり、無理に α とKを定めても妥当な結果は得られない。

これはMuskingum法における係数の計算法は図-7に示すように、洪水波の先端部が下流端(B-B断面)に達してから計算が開始されるので、追跡距離に応じて入力波(A-A断面の波)の増水部が無視される。従って、追跡距離が大きくなればなるほど、入力波に関係せず、主として流出波の波形のみで係数が決定されてしまい、無意味な係数となる。

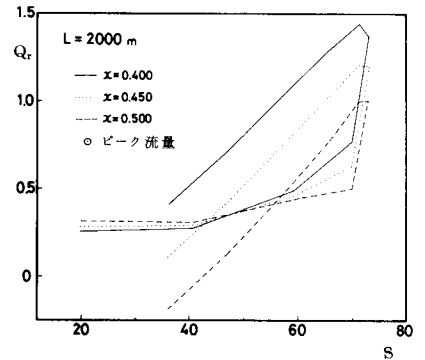
- <参考文献> (1) 上田年比古：特性曲線による不定流計算法の簡易化、16回年講、S 36、9
 (2) 荒木正夫、橋東一郎：水理学演習、下巻
 (3) 西畑勇夫：河川工学、技報堂



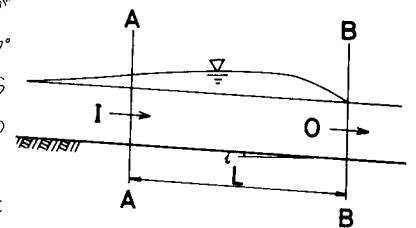
第3図 基本波IIの係数による基本波Iの流量計算値



第4図 基本波Iの係数による基本波IIの流量計算値



第6図 基本波IのループL (L=2000m)



第7図

- (4) 安田、藤田、古河：洪水追跡におけるMuskingum法の適合性についての一考察、日本大学工学部紀要第22巻A、(一部校正ミスあり、お詫び致します。)